

حسن زارعیان در سال ۱۳۵۲ در تهران متولد شد. درجه کارشناسی، کارشناسی ارشد و دکترا در رشته مهندسی مخابرات را از دانشگاه علم و صنعت ایران بترتیب در سالهای ۱۳۷۶، ۱۳۷۸ و ۱۳۸۸ دریافت نمود. وی از سال ۱۳۸۲ بعنوان عضو هیأت علمی گروه مهندسی رسانه دانشکده صدا و سیما مشغول به تدریس و تحقیق می باشد. زمینه های تخصصی مورد علاقه وی شامل مخابرات بی سیم و رادیوئی، مخابرات چندرسانه ای و پردازش و فوقي سیگنالهای دیجیتالی می باشد.

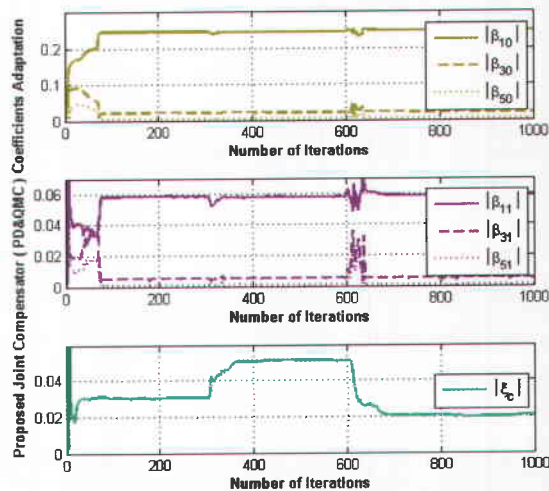


وحید طباطبا وکیلی در سال ۱۳۲۶ در تهران متولد شد. در سال ۱۳۴۹، درجه کارشناسی رشته مهندسی برق و الکترونیک از دانشگاه صنعتی شریف تهران را اخذ کرد و درجه کارشناسی ارشد و دکترا رشته مهندسی مخابرات را بترتیب در سالهای ۱۳۵۲ و ۱۳۵۶ از دانشگاه برادرورد انگلستان دریافت نمود. وی هم اکنون عضو هیئت علمی و دانشیار دانشکده برق دانشگاه علم و صنعت ایران می باشد. موضوعات تحقیقاتی مورد علاقه ایشان، مخابرات سیار، آشکارسازی چندکاربره، پردازش فضا- زمان و کدینگ می باشد.



مراجع

- [1] P. B. Kenington, High-Linearity RF Amplifier Design, Artech House, 2000.
- [2] J. K. Cavers, "The effect of quadrature modulator and demodulator errors on adaptive digital predistorters for amplifier linearization," IEEE Transactions on Vehicular Technology, vol. 46, pp. 456-466, May 1997.
- [3] A. Tarighat and A. H. Sayed, "On the baseband compensation of IQ imbalances in OFDM systems," IEEE International Conference on Acoustics, Speech and Signal Processing (ICASSP 2004), vol. 4, pp. 1021-1024, May 2004.
- [4] A. Tarighat, R. Bagheri and A. H. Sayed, "Compensation schemes and performance analysis of IQ imbalances in OFDM receivers," IEEE Transactions on Signal Processing, vol. 53, no. 8, pp. 3257-3268, Aug. 2005.
- [5] M. Valkama, M. Renfors and V. Koivunen, "Advanced methods for IQ imbalance compensation in communication receivers," IEEE Transactions on Signal Processing, vol. 49, no. 10, pp. 2335-2344, Oct. 2001.
- [6] J. K. Cavers, "New methods for adaptation of quadrature modulators and demodulators in amplifier linearization circuits," IEEE Transactions on Vehicular Technology, vol. 46, pp. 707-716, Aug. 1997.
- [7] L. Ding, Z. Ma, D. R. Morgan, M. Zierdt and G. T. Zhou, "Compensation of frequency-dependent gain phase imbalance in predistortion linearization systems," IEEE Transactions on Circuits and Systems I, vol. 55, no. 1, pp. 390-397, Feb. 2008.
- [8] D. Hilborn, S. Stapleton and J. Cavers, "An adaptive direct conversion transmitter," IEEE Transactions on Vehicular Technology, vol. 43, no. 2, pp. 223-233, 1994.
- [9] Y. Kim, E. Jeong, T. Noh and Y. Lee, "Joint adaptive compensation for amplifier nonlinearity and quadrature modulation errors", IEEE Vehicular Technology Conference (VTC 2006) pp. 2290-2293, May 2006.
- [10] L. Ding, G. T. Zhou, D. R. Morgan, Z. Ma, J. S. Kenney, J. Kim and C. R. Giardina, "A robust digital baseband predistorter constructed using memory polynomials," IEEE Transactions on Communications, vol. 52, pp. 159-165, Jan. 2004.
- [11] R. Raich and G. T. Zhou, "Orthogonal polynomials for complex Gaussian processes," IEEE Transactions Signal Processing, vol. 52, pp. 2788-2797, Oct. 2004.
- [12] R. Raich, H. Qian and G. T. Zhou, "Orthogonal polynomials for power amplifier modeling and predistorter design," IEEE Transactions on Vehicular Technology, vol. 53, pp. 1468-1479, Sep. 2004.
- [13] S. Haykin, Adaptive Filter Theory, 4th edition, Prentice-Hall, 2001.
- [14] A. A. Abidi, "Direct-conversion radio transceivers for digital communications," IEEE journal of Solid-State Circuits, vol. 30, no. 12, pp. 1399-1410, Dec. 1995.
- [15] B. Razavi, RF Microelectronics, Prentice-Hall, 1998.
- [16] "Digital Video Broadcasting (DVB); Framing structure, channel coding and modulation for digital terrestrial television", EN 300 744 V1.5.1, Nov. 2004.
- [17] A. M. Saleh, "Frequency-independent and frequency-dependent nonlinear models of TWT amplifiers," IEEE Transactions on Communications, vol. 29, pp. 1715-1720, Nov. 1981.
- [18] C. Eun and E. J. Powers, "A new Volterra predistorter based on the indirect learning architecture," IEEE Transactions on Signal Processing, vol. 45, pp. 223-227, Jan. 1997.
- [19] S. D. Muruganathan and A. B. Sesay, "A QRD-RLS-based predistortion scheme for high-power amplifier linearization," IEEE Transactions on Circuits and Systems II, vol. 53, no. 10, pp. 1108-1112, Oct. 2006.
- [20] R. Marsalek, P. Jardin, and G. Baudoin, "From post-distortion to predistortion for power amplifiers linearization," IEEE Communications Letters, vol. 7, no. 7, pp. 308-310, Jul. 2003.

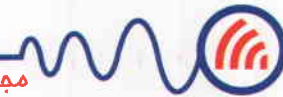


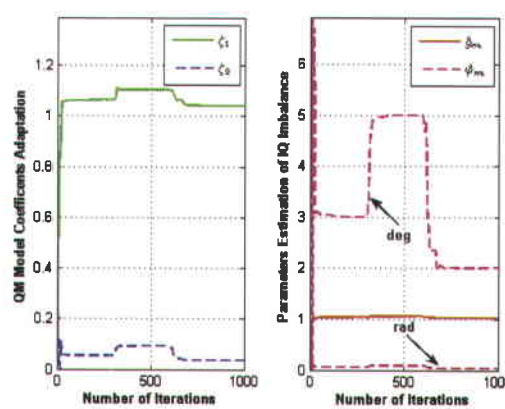
شکل ۲۰: همگرایی ضرایب جبرانساز توازن در الگوریتم وفقی پیشنهادی در حضور عدم توازن IQ متغیر با زمان.

از نظر پیچیدگی روش پیشنهادی اول شامل دو حلقه وفقی سازی با دو الگوریتم مجزا از هم می‌باشد که در مجموع تعداد عناصر بردار ضرایب آنها برابر $K'(Q+1)^2$ می‌باشد. در حالیکه روش پیشنهادی دوم دارای یک حلقه وفقی سازی و تنها یک الگوریتم می‌باشد که بردار ضرایب آن دارای $K'(Q+1)+1$ پارامتر است. بنابراین از نظر حجم محاسبات و پیاده سازی الگوریتم، روش پیشنهادی دوم ساده‌تر می‌باشد. ولی در عین حال این روش تنها یک نوع خطی ساز PA (PD) چندجمله‌ای و یک نوع ساختار طراحی (ساختار طراحی غیر مستقیم) قابل استفاده است در حالیکه روش پیشنهادی اول محدود به چندجمله‌ای نمی‌باشد و بطور کلی مستقل از خطی ساز PA عمل می‌کند.

۵- جمع بندی و خلاصه نتایج

در این مقاله، ابتدا روشی جدید برای تخمین ترتیبی پارامترهای مدل عدم توازن IQ در QM و جبرانسازی آن پیشنهاد گردید که در کنار مدار خطی ساز PA و همزمان با آن و از طریق یک الگوریتم وفقی مجزا از الگوریتم طراحی PD کار می‌کند. در این روش از سیگنال‌های تعیینی برای کالیبراسیون فرستنده استفاده نمی‌شود و از همان سیگنال ارسالی برای شناسایی پارامترهای مدل به صورت روی خط استفاده می‌شود. نتایج بررسی شبیه سازی کامپیوتری، بیانگر کارایی روش پیشنهادی در جبرانسازی اعوجاج عدم توازن IQ و بهبود قابل ملاحظه عملکرد PD در خطی سازی PA با حافظه می‌باشد. در روش پیشنهادی دوم، با اصلاح بهینه الگوریتم ارائه شده در مرجع [9]، روشی برای جبرانسازی وفقی و همزمان اعوجاج غیرخطی PA و عدم توازن IQ در QM پیشنهاد شد که با یک ساختار ساده، پارامترهای جبرانساز توازن از طریق تنها یک الگوریتم وفقی، به روز می‌شوند. در عین کارائی عملکرد خطی سازی تقریباً یکسان، روش پیشنهادی در مقایسه با روش قبلی از مزیت تعداد ضرایب کمتر، پیاده سازی ساده‌تر و بار محاسباتی کمتر برخوردار است.



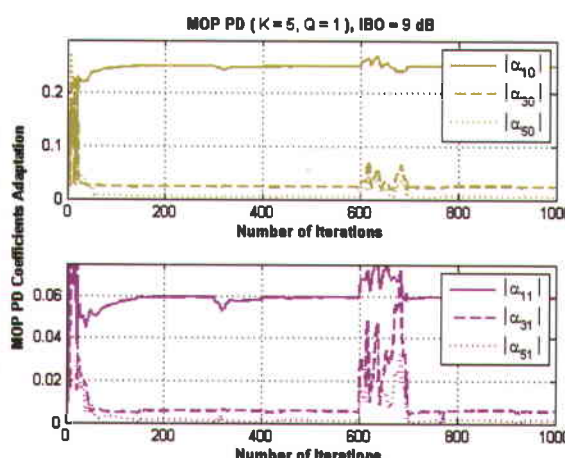


شکل ۱۸: همگرایی ضرایب مدل QM (شکل سمت چپ) و پارامترهای محاسبه شده عدم توازن IQ (شکل سمت راست).

برای بررسی اثر عدم توازن IQ وابسته به زمان بر وفقی سازی و عملکرد جبرانسازی الگوریتم های پیشنهادی فرض می شود که در تکرار ۳۰۰ ام الگوریتم، مقادیر عدم توازن فاز و بهره از $\varphi_m = 3^\circ$ و $g_m = 1.05$ به $\varphi_m = 5^\circ$ و $g_m = 1.03$ تغییر می کند و سپس بعد از ۳۰۰ نمونه ورودی در تکرار ۶۰۰ ام الگوریتم وفقی مقادیر فوق با یک تغییر ناگهانی به مقادیر $\varphi_m = 2^\circ$ و $g_m = 1.02$ کاهش می یابد.

نتایج این بررسی برای الگوریتم پیشنهادی اول در شکل های (۱۸) و (۱۹) و برای الگوریتم وفقی پیشنهادی دوم در شکل (۲۰) قابل مشاهده است. همانطوریکه ملاحظه می شود تغییرات ناگهانی در ضرایب مدل QM موجب واگرا شدن الگوریتم های پیشنهادی نمی شود و عملکرد جبرانسازی آنها با عدم توازن فاز و بهره متغیر با زمان تحت تأثیر قرار نمی گیرد. علاوه می توان نتیجه گرفت که الگوریتم های پیشنهادی توانایی دنبال کردن سریع تغییرات زمانی عدم توازن IQ در QM را دارا

هستند.



شکل ۱۹: همگرایی ضرایب MOP PDD در الگوریتم وفقی RLS در حضور عدم توازن IQ متغیر با زمان.

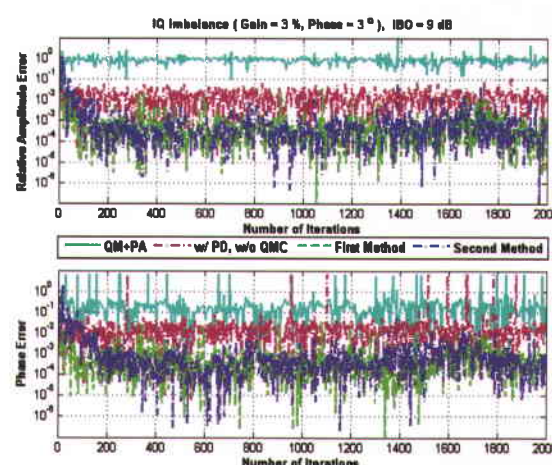
w/ PD)، خطی سازی QM+PA بدون جبرانسازی عدم توازن IQ (w/o QMC)، روش جبرانسازی توام قبلی (Previous Method)، روش QMC و PD و حالت (Proposed Method) و Ideal PD+PA. به منظور بررسی و مقایسه درست نتایج، PSD های فوق به صورت نرمالیزه نمایش داده شده اند. با توجه به این شکل، هر دو روش پیشنهادی و روش مرجع [9]، عملکرد ACPR یکسانی دارند (−52 dB) دارند که در مقایسه با حالتهای (QM+PA) و (w/ PD w/o QMC) بتریب بهبودی باندازه (w/ PD) در اولین کانال ACPR در ۱۱ dB و ۱۷ dB می رسد و در عین حال با حالت ایدهآل تنها ۱ dB اختلاف دارند.

۴-۳- مقایسه عملکرد و پیچیدگی محاسباتی روشهای

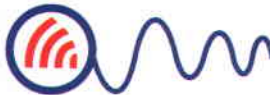
پیشنهادی

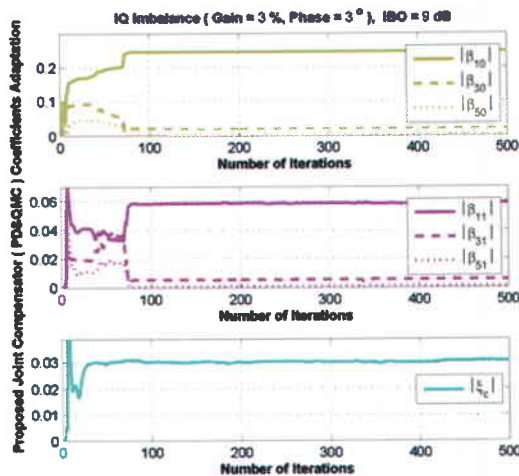
با توجه به نتایج بخشهای قبل ملاحظه می شود که هر دو الگوریتم وفقی پیشنهادی، همگرایی خیلی سریعی از خود نشان می دهد و هر دو روش منجر به کاهش قابل ملاحظه اوجاج داخل و خارج باند می شوند که بترتیب، براساس عملکردهای EVM و ACPR قابل اندازه گیری می باشند.

علاوه بر بررسی وفقی سازی بردار ضرایب در الگوریتم های پیشنهادی، تشریح سرعت همگرایی الگوریتم از طریق مشاهده عملکرد خطای لحظه ای مابین سیگنال خروجی PA و ورودی PD امکان پذیر می باشد [20]. برای مقایسه همگرایی روش های وفقی پیشنهادی، خطای دامنه نسبی لحظه ای و فاز مابین سیگنال خروجی PA و ورودی برای هر دو الگوریتم علاوه بر حالت بدون QMC و PA (شکل ۱۷) نشان داده شده است. همانطوریکه مشاهده می شود هر دو الگوریتم وفقی پیشنهادی، همگرایی خیلی سریعی از خود نشان می دهد و در مقایسه با حالت بدون PD و یا بدون جبران سازی عدم توازن IQ منجر به کاهش قابل ملاحظه خطای لحظه ای می گردد.

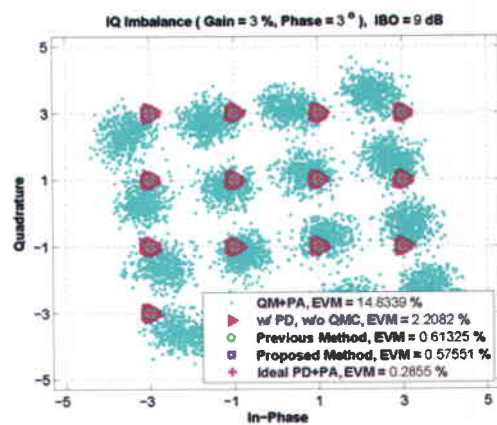


شکل ۱۷: خطای نسبی دامنه و خطای فاز مابین ورودی PA و خروجی PA برای مقایسه سرعت همگرایی روشهای پیشنهادی.

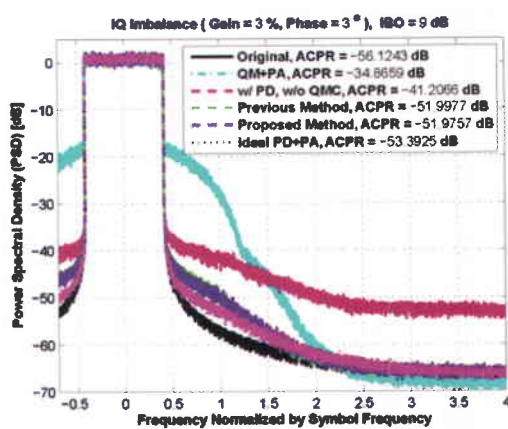




شکل ۱۴: همگرایی ضرایب جبرانساز توان در الگوریتم وفقی پیشنهادی.



شکل ۱۵: منظومه سمبولهای دریافتی برای مقایسه روش پیشنهادی و روش مرجع [۹].



شکل ۱۶: سیگنالهای خروجی PA برای مقایسه روشهای جبرانسازی توان پیشنهادی و مرجع [۹].

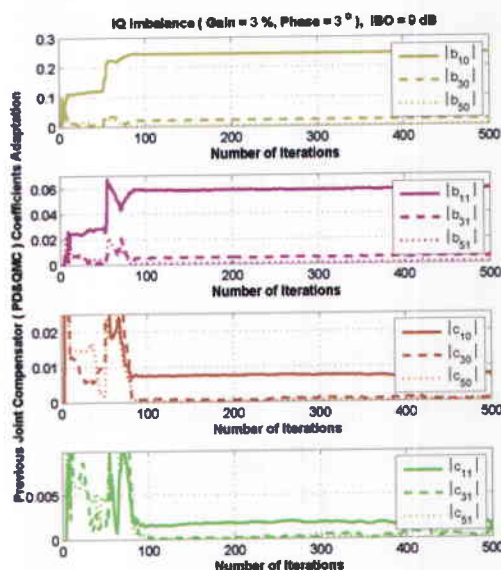
شکل (۱۶)، علاوه بر PSD سیگنال ورودی اصلی (Original)، PSD سیگنال خروجی PA و عملکرد ACPR متناظر آنها را برای چندین حالت را نشان می‌دهد که عبارتند از: سیستم جبرانسازی نشده

۴-۲-۴- ارزیابی عملکرد جبرانساز پیشنهادی دوم

در این بخش عملکرد تکنیک جبرانسازی پیشنهادی دوم از طریق شبیه سازی کامپیوتری مورد بررسی قرار می‌گیرد و با روش قبلی آنها شده در [۹] از نظر همگرایی ضرایب، عملکرد EVM و ACPR مقایسه می‌گردد.

شکل های (۱۳) و (۱۴)، بترتیب همگرایی دامنه ضرایب جبرانساز توان برای الگوریتم ارائه شده در [۹] و الگوریتم وفقی پیشنهادی نشان می‌دهد. برای هر دو روش از MOP PD با یک چندجمله‌ای معتمد با حافظه از مرتبه فرد $K' = 0.5(K+1) = 3$ ($K = 5$) و طول حافظه $Q = 1$ در نظر گرفته شده است. هر دو الگوریتم از نظر سرعت همگرایی با اختلاف بسیار کم، تقریباً یکسان عمل می‌کنند و پارامترهای جبرانساز توان، خیلی سریع و بعد از تقریباً ۱۰۰ بار تکرار الگوریتم به مقدار نهایی خود همگرا می‌شوند. در عین حال، برخلاف روش [۹] که در هر مرحله تکرار الگوریتم، تعداد $2K'(Q+1) = 12$ پارامتر تخمین زده می‌شود، روش پیشنهادی تنها به $K'(Q+1)+1 = 7$ پارامتر برای وقایع سازی نیاز دارد. از طرف دیگر با اجرای الگوریتم جبرانسازی پیشنهادی، ضرایب PD و تنها پارامتر QMC بدون نیاز به محاسبات اضافی بطور مجزا بدست می‌آید.

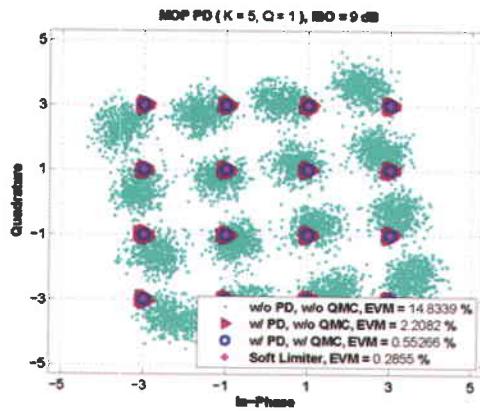
برای بررسی عملکرد EVM، منظومه سیگنال خروجی PA برای حالات مختلف در شکل (۱۵) ترسیم شده است. براساس مقادیر محاسبه شده EVM، که در شکل مشخص می‌باشد، می‌توان نتیجه گرفت که بکارگیری الگوریتم پیشنهادی همانند روش قبلی، منجر به بهبود قابل توجه ای در کاهش اعوجاج داخل باند (بهمن ریختگی کمتر منظومه و کاهش مقدار EVM متناظر) می‌شود، بطوریکه با حالت ایده‌آل محدود کننده نرم اختلافی ناجائز و در حدود ۰.۳٪ دارد. به عبارت دیگر، در حالیکه با توجه به مقدار EVM در سیستم BER متناظر شدیداً توسط PA غیرخطی با حافظه و اعوجاج غیر خطی ناشی از QM غیر ایده‌آل، تحت تاثیر قرار گرفته است، سیستم جبرانساز توان پیشنهادی، با کاهش تقریباً ۱۴ درصدی مقدار EVM، عملکرد BER سیستم را بطور قابل ملاحظه ای بهبود می‌بخشد.



شکل ۱۷: همگرایی ضرایب جبرانساز توان در الگوریتم وفقی [۹].

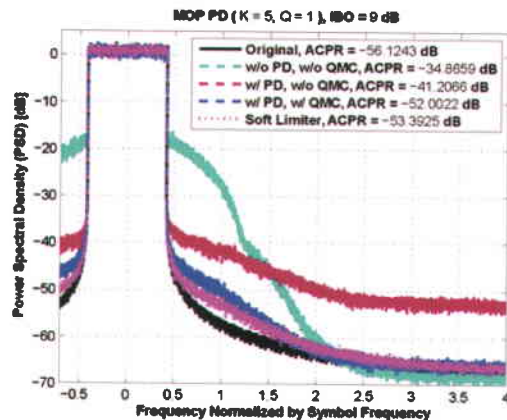


(IQ)، (۲) خطی سازی PA بدون جبرانسازی عدم توازن QMC و (IQ)، (۳) بدون جبرانسازی عدم توازن IQ و خطی سازی (w/o PD, w/o QMC) و (۴) حالت PD ایده‌آل بدون اعوجاج عدم توازن IQ می‌باشد. ملاحظه می‌شود که خطی سازی (Soft Limiter) IQ توسط MOP بدون جبرانسازی اثر QM غیر ایده‌آل بهبود PA محدودی (2.2%) در مقایسه با حالتی که QMC بکار EVM معمکرد (0.55%) نشان می‌دهد.



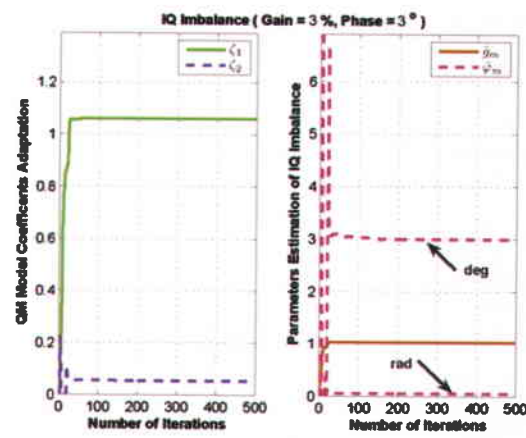
شكل 11: منظومه سيگنال QAM-OFDM 16 بهره ا مقدار EVM متاخر برای حالات مختلف.

در شکل (۱۲)، بهبود عملکرد ACPR حاصل از بکار گیری جبرانساز عدم توازن IQ در کاهش اعوجاج خارج باتد (ACI) تشریح شده است. برای مقایسه، PSD سیگنال ورودی (Original) و PSD سیگنال خروجی سیستم جبرانسازی نشده (w/o PD, w/o QMC) و QMC و PD ایده‌آل یا همان محدود کننده نرم (Soft Limiter) حالت علاوه بر خطی سازی PA بدون جبرانسازی عدم توازن IQ (w/ PD,) نیز نشان داده شده است. با توجه به مقدار ACPR برای MOP PD برای ACPR مختلف ملاحظه می‌شود که عملکرد ACPR با استفاده از QMC (41.2 dB) در حدود 11 dB نسبت به و با استفاده از IQ (52 dB) بهبود می‌یابد. نتایج فوق نشان می‌دهد که با استفاده از الگوریتم وقیعه پیشنهادی، عدم توازن IQ در QM بطور موثر در طی عملیات عادی فرستنده و همزمان با بکار گیری خطی سازی PA، جبرانسازی می‌شود.

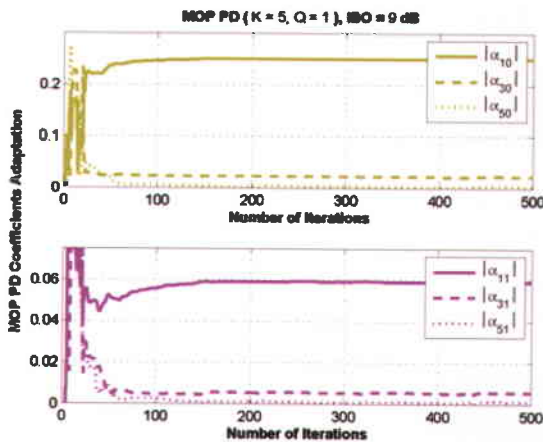


شكل ١٢: چکالی طیفی توان سیگنال خروجی PA، منظومه سیگنال-OFDM یعنی امدادی EVM متناظر برای حالات مختلف.

توازن IQ در QM و بهبود عملکردهای مختلف خطی ساز MOP PD از طریق شبیه سازی کامپیوتری موردن بررسی قرار می گیرد.



شکل ۹: همگرایی ضرایب مدل QM (شکل سمت چپ) و پارامترهای محاسبه شده عدم توازن IQ (شکل سمت راست).



شكل ١٠: همگرایی ضرایب MOP PDD در الگوریتم وفقی RLS.

شکل (۹)، همگرایی ضرایب مدل QM (شکل سمت چپ) و پارامترهای محاسبه شده مدل عدم توازن IQ متناظر (شکل سمت راست) را در طی فرآیند وقوعی سازی الگوریتم پیشنهادی نشان می‌دهد. ملاحظه می‌شود که پارامترهای عدم توازن IQ در QM که براساس ضرایب مدل QM تخمین زده می‌شوند، خیلی سریع به مقدار نهایی خود: یعنی $\hat{\phi}_m = 3^o$ و $\hat{g}_m = 1.03$ ، همگرا می‌شوند. از طرف دیگر، همگرایی ضرایب چندجمله‌ای متعدد با حافظه در طی عملیات وقوعی سازی توسط الگوریتم ارائه شده در بخش ۲، در شکل (۱۰) تشریح شده است. در اینجا نیز مشاهده می‌شود که ضرایب MOP با شناسایی و جبرانسازی کامل عدم توازن IQ توسط QMC، بسرعت به مقدار نهایی خود همگرا می‌شوند.

به منظور بررسی عملکرد EVM برای خطی ساز PA با حافظه، منظومه سیگنال QAM-OFDM-16 ارسالی بعد از همگرایی پارامترهای EVM و ضرایب MOP PD برای حالتهای مختلف بهمراه مقادیر QMC متناظر در شکل (۱۱) نشان داده شده است. این حالتها، شامل (۱) بعد از جبرانسازی همزمان عدم توازن IQ و خطی سازی PA w/ w/ PD،

استفاده می شود [16]. برای PA با حافظه، مدل وینر در نظر گرفته می شود که در بخش غیر خطی آن، مدل غیر خطی بدون حافظه صالح برای تقویت کننده TWTA با مشخصه ای مشابه [17] انتخاب شده است و برای بخش خطی مدل وینر که اثرات حافظه PA را در بر می گیرد، مشابه [18] یک فیلتر FIR سه مولفه ای با ضرایب حقیقی می گیرد، مشابه [18] یک فیلتر FIR سه مولفه ای با ضرایب حقیقی [0.7692, 0.1538, 0.0769] در نظر گرفته می شود.

توان متوسط ورودی dB 9 زیر توان اشباع PA تنظیم شده است، عبارت دیگر، با توجه به اینکه توان اشباع برابر 0 dB می باشد، توان پسرفت ورودی معادل با IBO=9 dB است که برای PA مذکور معادل با توان پسرفت خروجی OBO=4.7 dB می باشد. همچنین، از فرا نمونه برداری مرتبه 8 استفاده شده است. برای MOP PD یک چندجمله ای متعامد با حافظه از مرتبه 5 و طول حافظه $K = 5$ در نظر گرفته می شود. ضریب فراموشی نیز برای تمام الگوریتم های وقفی RLS برابر $\lambda = 0.95$ می باشد. مقادیر عدم توازن فاز و بهره در QM نیز بترتیب $\varphi_m = 3^\circ$ و $g_m = 1.03$ در نظر گرفته شده است.

خصوصیات همگرایی از طریق بررسی رفتار ضرایب مورد شناسایی توسط الگوریتم های RLS، ارزیابی می شود. عملکردهای EVM و ACPR بترتیب بعنوان معیاری برای موثر بودن خطی ساز PA در کاهش اعوجاج داخل باند (عملکرد BER) و خارج باند (عملکرد ACI) از طریق شبیه سازی مورد ارزیابی قرار می گیرند. مقدار EVM که میزان بهم ریختگی منظومه سیگنال در خروجی PA را نشان می دهد از رابطه زیر محاسبه می شود [19]:

$$EVM = \sqrt{\frac{\min_{r_0, r_1} \sum_k \left| d_x[k] - \left(\frac{d_y[k] - r_1}{r_0} \right) \right|^2}{\sum_k |d_x[k]|^2}} \quad (23)$$

در رابطه فوق، $d_x[k]$ سимвولهای منبع اصلی را نمایش می دهد و $d_y[k]$ سимвولهای ارسالی واقعی می باشد. پارامترهای r_0 و r_1 به منظور جبرانسازی چرخش و افست منظومه بهینه سازی می شوند. معیار EVM به دلیل ارتباط مستقیم با نرخ خطای بیت (BER) از اهمیت اساسی برخوردار است.

کاهش باز افرینی طیفی بانجام رسیده توسط خطی ساز PA، از طریق معیار ACPR قابل ارزیابی می باشد که از طریق PSD سیگنال خروجی PA و به صورت نسبت توان در کانال اصلی و توان در کانال مجاور محاسبه می شود [19]:

$$ACPR = 10 \log_{10} \left(\frac{\int_{f_{adj_min}}^{f_{adj_max}} S(f) df}{\int_{f_{main_min}}^{f_{main_max}} S(f) df} \right) \quad (24)$$

که در آن $(S(f))$ PSD سیگنال خروجی می باشد و f فرکانس را مشخص می کند.

۴- ارزیابی عملکرد جبرانساز پیشنهادی اول

در این بخش، کارائی الگوریتم وقفی پیشنهادی برای جبرانسازی عدم

$c = \beta^T b$ می توان نتیجه گرفتن که عملاً تاثیر چندانی در پیچیدگی محاسباتی حاصل نمی شود. به منظور کاهش پیچیدگی و حجم محاسبات، می توان از رابطه $\Psi[n] = [\Psi^T[n], \tilde{u}^*[n]]^T$ را بفرم ماتریسی زیر نوشت:

$$z[n] = \gamma^T[n] \Psi[n] \quad (49)$$

که در آن $\tilde{u}[n]$ مطابق با رابطه (45) ولی براساس ضرایب β_{kq} که در تکرار قبلی تخمین زده شده، بدست می آید. بنابراین برخلاف روش [9]، دارای مقدار معلومی می باشد:

$$\begin{aligned} \tilde{u}[n] &= \sum_{k=1}^K \sum_{q=0}^Q \beta_{kq} [n-1] \psi_{kq}[n] \\ &= \beta^T[n-1] \Psi[n] \end{aligned} \quad (50)$$

برای الگوریتم RLS پیشنهادیتابع هزینه ای مشابه (38) تعریف می شود و اجرای الگوریتم وقفی، مطابق روند زیر می باشد:

۱) مقداردهی اولیه الگوریتم با قراردادن

$$\mathbf{P}[0] = \delta^{-1} \mathbf{I}, \gamma[0] = [0, 1, 0, \dots, 0]^T \quad (51)$$

که در آن δ یک عدد مثبت کوچک می باشد.

۲) برای هر لحظه زمانی ... $n = 1, 2, \dots$ توابع زیر ارزیابی شود:

$$\mathbf{K}[n] = \frac{\mathbf{P}[n-1] \Psi^*[n]}{\lambda + \Psi^T[n] \mathbf{P}[n-1] \Psi^*[n]} \quad (52)$$

$$\begin{aligned} e[n] &= z[n] - \hat{z}[n] \\ &= z[n] - \gamma^T[n-1] \Psi[n] \end{aligned} \quad (53)$$

$$\gamma[n] = \gamma[n-1] + \mathbf{K}[n] e[n] \quad (54)$$

$$\mathbf{P}[n] = \frac{1}{\lambda} \mathbf{P}[n-1] - \frac{1}{\lambda} \mathbf{K}[n] \Psi^T[n] \mathbf{P}[n-1] \quad (55)$$

همانطوریکه مشاهده می شود، با اصلاح روش پیشنهادی [9]، دو ویژگی مهم قابل حصول است. اولاً تعداد پارامترهایی که توسط الگوریتم استخراج می شود از $2K(Q+1)$ ۲پارامتر در بردار \mathbf{d} به $K(Q+1)+1$ پارامتر در بردار γ کاهش می یابد و ثانیاً بدون نیاز به محاسبات اضافی و یا پیچیده تر شدن پیاده سازی جبرانساز در [9]، مستقیماً پارامترهای QMC و ضرایب PD چندجمله ای بدست می آید. در بخش بعدی کارائی روشهای پیشنهادی از طریق شبیه سازی کامپیوتوری مورد ارزیابی قرار می گیرد.

۴- نتایج شبیه سازی کامپیوتوری برای بررسی عملکرد جبرانسازهای پیشنهادی

به منظور شبیه سازی، از سیگنال ورودی OFDM با پارامترهای منطبق با استاندارد DVB-T در مود 2K، یعنی 1705 Zیرحامن فعل که هریک سимвولهای مدولاسیون QAM-16 را در خود جای داده است،



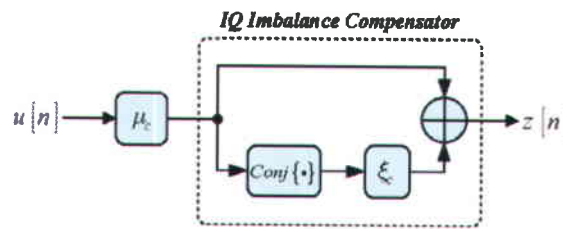
پیچیدگی پیاده سازی آن زیاد می باشد. در ادامه، روش پیشنهادی دوم این مقاله که با اصلاح بهینه روش مذکور به کاهش پیچیدگی الگوریتم و پیاده سازی آن می انجامد، تشریح می شود.

برای این منظور، با فاکتور گیری از μ_c رابطه

$$z[n] = \mu_c u[n] + \lambda_c^* u^*[n]$$

$$z[n] = \mu_c (u[n] + \xi_c u^*[n]) \quad (44)$$

که در آن $\lambda_c^* = (\lambda_c / \mu_c)^*$ می باشد. شکل (۸) مدل دیگر جبرانساز عدم توازن IQ را براساس (۴۴) نشان می دهد.



شکل ۸: مدل سازی معادل برای جبرانساز QMC

برای الگوریتم وفقی پیشنهادی، همانطوریکه در ابتدا بیان شد از توابع چندجمله‌ای متعامد بجای چندجمله‌ای متعارف استفاده می‌گردد. براین اساس، برای PD چندجمله‌ای متعامد با حافظه رابطه زیر را می‌توان نوشت:

$$u[n] = \sum_{k=1}^K \sum_{q=0}^Q \alpha_{kq} \psi_{kq}[n] \quad (45)$$

با در نظر گرفتن رابطه فوق در رابطه (۴۴)، رابطه (۴۶) بدست می‌آید:

$$z[n] = \sum_{\text{Odd}}^K \sum_{q=0}^Q \beta_{kq} \psi_{kq}[n] + \xi_c \sum_{\text{Odd}}^K \sum_{q=0}^Q \beta_{kq}^* \psi_{kq}^*[n] \quad (46)$$

که در آن $\beta_{kq} = \mu_c \alpha_{kq}$ می باشد. هدف از الگوریتم وفقی پیشنهادی، تخمین ضرایب PD چندجمله‌ای متعامد با حافظه و β_{kq} و β_{kq}^* می باشد. اگر مطابق روش ارائه شده در [۹] عمل شود، برای $z[n]$ رابطه برداری زیر نوشه می شود:

$$z[n] = \boldsymbol{\beta}^T \boldsymbol{\Psi}[n] + \xi_c \boldsymbol{\beta}^H \boldsymbol{\Psi}^*[n] \quad (47)$$

که در آن بردار $\boldsymbol{\beta}$ و ماتریس $\boldsymbol{\Psi}[n]$ عبارتند از:

$$\boldsymbol{\beta} = [\beta_{10}, \dots, \beta_{K0}, \dots, \beta_{1Q}, \dots, \beta_{KQ}]^T$$

$$\boldsymbol{\Psi}[n] = [\psi_{10}[n], \dots, \psi_{K0}[n], \dots, \psi_{1Q}[n], \dots, \psi_{KQ}[n]]^T$$

با مقایسه دو رابطه (۴۷) و (۴۶) و در نظر گرفتن

$$z[n] = \underbrace{\mu_c \mathbf{a}^T}_{\mathbf{b}^T} \boldsymbol{\Phi}[n] + \underbrace{\lambda_c^* \mathbf{a}^H}_{\mathbf{c}^T} \boldsymbol{\Phi}^*[n] \quad (46)$$

که در آن $\mathbf{c}^T = \lambda_c^* \mathbf{a}^H$ و $\mathbf{b}^T = \mu_c \mathbf{a}^T$ می باشد و ماتریس $\boldsymbol{\Phi}[n]$ و بردار \mathbf{d} به صورت (۳۷) تعریف می شوند:

$$\boldsymbol{\Phi}[n] = [\boldsymbol{\Phi}^T[n], \boldsymbol{\Phi}^H[n]]^T, \quad (37)$$

$$\mathbf{d} = [\mathbf{b}^T, \mathbf{c}^T]^T$$

براین اساس، معیار حداقل مربعات زیر برای حداقل سازی خطای مابین $\hat{z}[n]$ و $z[n]$ تعریف می شود:

$$J[n] = \sum_{l=1}^n \lambda^{n-l} |e[l]|^2 = \sum_{l=1}^n \lambda^{n-l} |z[l] - \hat{z}[l]|^2 \quad (38)$$

که در آن λ ضریب فراموشی می باشد. الگوریتم RLS برای شناسایی وفقی پارامترهای جبرانساز توأم، به صورت زیر خلاصه می شود:

۱) مقداردهی اولیه الگوریتم با قرار دادن

$$\mathbf{P}[0] = \delta^{-1} \mathbf{I}, \mathbf{y}[0] = [0, 1, 0, \dots, 0]^T \quad (39)$$

که در آن δ یک عدد مثبت کوچک می باشد.

۲) برای هر لحظه زمانی $n = 1, 2, \dots, N$ توابع زیر ارزیابی شود:

$$e[n] = z[n] - \hat{z}[n] = z[n] - \mathbf{d}^T[n-1] \boldsymbol{\Phi}[n] \quad (40)$$

$$\mathbf{K}[n] = \frac{\mathbf{P}[n-1] \boldsymbol{\Phi}^*[n]}{\lambda + \mathbf{P}^T[n] \mathbf{P}[n-1] \boldsymbol{\Phi}^*[n]} \quad (41)$$

$$\mathbf{P}[n] = \frac{1}{\lambda} \mathbf{P}[n-1] - \frac{1}{\lambda} \mathbf{K}[n] \boldsymbol{\Phi}^T[n] \mathbf{P}[n-1] \quad (42)$$

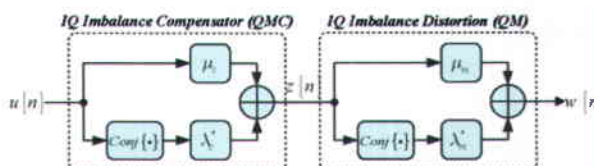
$$\mathbf{d}[n] = \mathbf{d}[n-1] + \mathbf{K}[n] e[n] \quad (43)$$

در جاییکه δ یک مقدار مثبت کوچک و $K[n]$ بردار بهره می باشد. در ادامه اساس الگوریتم پیشنهادی که اصلاح بهینه روش [۹] با هدف کاهش پیچیدگی محاسباتی و ساده تر شدن پیاده سازی جبرانساز است، تشریح می شود.

۲-۲-۳- الگوریتم وفقی پیشنهادی برای جبرانسازی توام

در الگوریتم ارائه شده در مرجع [۹]، برای پیاده سازی PD در مسیر فیدبک یا پیشرو دو روش امکانپذیر است: ۱) استخراج پارامترهای عدم توازن IQ و ضرایب چندجمله‌ای براساس روابط $\mathbf{c} = \lambda_c^* \mathbf{a}^*$ ، $\mathbf{b} = \mu_c \mathbf{a}$ و $\mathbf{b}^* = \lambda_c^* \mathbf{a}^H + \mu_c \mathbf{a}^T$ و سپس پیاده سازی جبرانساز مطابق با دیاگرام بلوکی ترسیم شده در شکل (۶)، ۲) استفاده از دو دسته چندجمله‌ای با ضرایب \mathbf{b} و \mathbf{c} به صورتیکه خروجی آن $\mathbf{b}^T \boldsymbol{\Phi}[n] + \mathbf{c}^T \boldsymbol{\Phi}^*[n]$ باشد. در عین حال، تعداد پارامترهایی که در الگوریتم مذکور تخمین زده می شوند، $2K(Q+1)$ می باشد که در هر صورت حجم محاسبات و





شکل ۷: معادل باندپایه اعوجاج عدم توازن IQ در QM بهمراه جبرانساز آن (QMC).

بلوک QMC نیز در جبرانساز توازن، طوری طراحی می‌شود که جبرانسازی کامل عدم توازن فاز و بهره در QM با نظر گرفتن عدم توازن فاز φ_m و بهره g_m ، سیگنال باندپایه $w[n]$ در خروجی QM براساس سیگنال ورودی $z[n]$ به صورت زیر نوشته می‌شود [5] :

$$w[n] = \mu_m z[n] + \lambda_m^* z^*[n] \quad (30)$$

که در آن،

$$\mu_m = \frac{1}{2} \left(1 + g_m e^{+j\varphi_m} \right) \quad (31)$$

$$\lambda_m = \frac{1}{2} \left(1 - g_m e^{-j\varphi_m} \right) \quad (32)$$

با توجه به ساختار QMC در شکل (۷)، سیگنال خروجی QMC به صورت $z[n] = \mu_c u[n] + \lambda_c^* u^*[n]$ تعریف می‌شود. بر این اساس، ارتباط خروجی QM با ورودی QMC به صورت (۳۳) قابل بیان است:

$$w[n] = (\mu_m \mu_c + \lambda_m^* \lambda_c) u[n] + (\mu_m \lambda_c^* + \lambda_m^* \mu_c^*) u^*[n] \quad (33)$$

شرط جبرانسازی کامل اعوجاج عدم توازن IQ در QM توسط معادل با $w[n] = u[n]$ می‌باشد. با توجه به رابطه (۳۳) معادله زیر می‌بایست برای ارضاع شرط مذکور برقرار باشد:

$$\begin{cases} \mu_m \mu_c + \lambda_m^* \lambda_c = 1 \\ \mu_m \lambda_c^* + \lambda_m^* \mu_c^* = 0 \end{cases} \quad (34)$$

از معادلات فوق، پارامترهای مدل QMC به صورت زیر بدست می‌آید:

$$\lambda_c = \frac{-\lambda_m}{|\mu_m|^2 - |\lambda_m|^2} \quad (35)$$

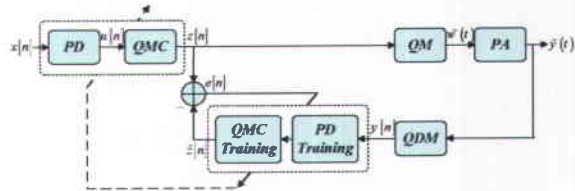
$$\mu_c = \frac{\mu_m^*}{|\mu_m|^2 - |\lambda_m|^2}$$

با توجه به (۳۵) و از آنجاییکه $\mu_m + \lambda_m^* = 1$ می‌باشد می‌توان نتیجه گرفت $1 - \mu_c + \lambda_c^* = 1$.

هدف، یافتن یک الگوریتم وقی برای تخمین همزمان و توان ضرایب چندجمله‌ای و پارامترهای جبرانساز QMC می‌باشد. برای این منظور، پکارگیری رابطه (۳۰) در رابطه ورودی- خروجی QMC، منجر به رابطه برداری زیر می‌شود:

می‌تواند دارای مشخصه غیر ایده‌آل باشد. هدف این بخش، ارائه روشهای برای تحریک بهینه دو الگوریتم وقی در QMC و PD می‌باشد. الگوریتم وقی پیشنهادی براساس ساختار ارائه شده در [9] و با اصلاح الگوریتم جبرانسازی آن، پیچیدگی محاسباتی الگوریتم مذکور را کاهش می‌دهد و ساختار پیاده سازی جبرانساز توان را بطور چشمگیری ساده تر می‌سازد.

شکل (۶)، دیاگرام بلوکی معادل باندپایه سیستم جبرانساز توان عدم توازن IQ و اعوجاج غیرخطی PA که در [9] ارائه شده است را نشان می‌دهد. در این ساختار مبتنی بر طراحی غیر مستقیم، پارامترهای سیستم جبرانساز توان که شامل بلوکهای RLS، شناسایی و به روز می‌شود. کلیه سیگنالهای مشخص شده در شکل سیگنالهای باندپایه گسته با مقادیر مختلف هستند. خروجیهای QM و PA که بترتیب با $z[n]$ و $w[n]$ مشخص شده اند، پوش مختلط باندپایه سیگنال میانگذر متناظر هستند. همچنین، در این شکل فرض می‌شود که اعوجاج عدم توازن IQ هنگام تبدیل مستقیم به فرکانس بالا توسط QM ایجاد می‌شود، ولی دمدولاتور تربیعی (QDM) مورد استفاده برای تبدیل به فرکانس پایین، ایده‌آل در نظر گرفته می‌شود.



شکل ۶: دیاگرام بلوکی سیستم پیش اعوجاج باندپایه بهمراه جبرانساز عدم توازن IQ در QM با ساختار طراحی غیر مستقیم.

در ادامه ابتدا الگوریتم جبرانسازی وقی ارائه شده در [9] تشریح می‌شود و سپس در بخش بعدی چگونگی اصلاح الگوریتم مذکور به منظور کاهش پیچیدگی محاسباتی و سادگی پیاده سازی عنوان الگوریتم وقی پیشنهادی مطرح می‌گردد.

۳-۱-۲-۳- الگوریتم وقی مرجع [9] برای جبرانسازی توان

با در نظر گرفتن PD چندجمله‌ای با حافظه برای خطی ساز PA، خروجی $u[n]$ در شکل (۶) به صورت زیر می‌باشد [9]:

$$u[n] = \sum_{k=1}^K \sum_{q=0}^Q a_{kq} \phi_{kq}(x[n]) = \mathbf{a}^T \boldsymbol{\phi}[n] \quad (28)$$

در جاییکه $x[n]$ سیگنال ورودی PD می‌باشد و در حالت جبرانسازی ایده‌آل با خروجی QDM ایده‌آل در مسیر فیدبک یعنی $y[n] = [a_{10}, \dots, a_{K0}, \dots, a_{1Q}, \dots, a_{KQ}]^T$ بردار ضرایب $\mathbf{a} = [a_{10}, \dots, a_{K0}, \dots, a_{1Q}, \dots, a_{KQ}]^T$ برابر است. K' بعدی و $Q' + 1$ ضرایب (۲۹)

$$\boldsymbol{\phi}[n] = [\phi_{10}[n], \dots, \phi_{K0}[n], \dots, \phi_{1Q}[n], \dots, \phi_{KQ}[n]]^T \quad (29)$$

می‌باشد.



در رابطه فوق $\zeta_1, \zeta_2 = \begin{bmatrix} \zeta_1 \\ \zeta_2 \end{bmatrix}^T$ بردار ضرایب مدل QM می‌باشد
 $\chi[n] = \begin{bmatrix} z_Q^2[n] \\ -2z_I[n]z_Q[n] \end{bmatrix}^T$ بردار نمونه‌های قبل
 اندازه گیری در ورودی QM می‌باشد. ارتباط مولفه‌های بردار ضرایب با پارامترهای مدل QM به صورت رابطه زیر می‌باشد:

$$\begin{aligned}\zeta_1 &= g_m^2 \\ \zeta_2 &= g_m \sin(\varphi_m)\end{aligned}\quad (22)$$

با تعریف $\bar{s}[l] = \hat{s}[l] - z_I^2[l]$ و $\bar{s}[l] = s[l] - z_I^2[l]$ و معیار (۱۸) به صورت زیر اصلاح می‌شود:

$$J[n] = \sum_{l=1}^n \lambda^{n-l} |\bar{s}[l] - \bar{s}[l]|^2 \quad (23)$$

برای اساس، بردار ضرایب مدل QM در تکرار n ام الگوریتم وفقی RLS، از طریق رابطه (۲۴) محاسبه می‌شود:

$$\zeta[n] = \zeta[n-1] + \mathbf{K}[n]e_{qm}[n] \quad (24)$$

که در آن $e_{qm}[n]$ خطای مابین خروجی ED ایده‌آل و مدل QM به صورت زیر تعریف می‌شود:

$$\begin{aligned}e_{qm}[n] &= \bar{s}[n] - \bar{s}[l] \\ &= s[n] - z_I^2[n] - \zeta^T[n-1]\chi[n]\end{aligned}\quad (25)$$

و بردار بهره متغیر با زمان $\mathbf{K}[n]$ دارای رابطه (۲۶) می‌باشد:

$$\mathbf{K}[n] = \frac{\mathbf{P}[n-1]\chi^*[n]}{\lambda + \chi^T[n]\mathbf{P}[n-1]\chi^*[n]} \quad (26)$$

در جاییکه ماتریس $\mathbf{P}[n]$ به طور متوالی از رابطه زیر، به روز می‌شود:

$$\mathbf{P}[n] = \frac{1}{\lambda} \mathbf{P}[n-1] - \frac{1}{\lambda} \mathbf{K}[n]\chi^T[n]\mathbf{P}[n-1] \quad (27)$$

با توجه به رابطه (۲۲)، براساس بردار ضرایب مدل QM که در تکرار n ام محاسبه می‌شود، تخمینی از پارامترهای عدم توازن IQ در QM شامل عدم توازن بهره \hat{g}_m و عدم توازن فاز $\hat{\varphi}_m$ بدست می‌آید که در تکرار $n+1$ ام، جایگزین پارامترهای QMC مراحله قبل می‌شود:

$$\begin{aligned}\hat{g}_m[n+1] &= \sqrt{\zeta_1[n]} \\ \hat{\varphi}_m[n+1] &= \arcsin\left(\frac{\zeta_2[n]}{\sqrt{\zeta_1[n]}}\right)\end{aligned}\quad (28)$$

۲-۳- روشن دوم: جبرانسازی توام عدم توازن IQ در PA و اعوجاج غیرخطی QM

در روشنی که در بخش قبلی پیشنهاد گردید، الگوریتم وفقی جبرانسازی عدم توازن IQ در QM از طریق یک حلقه مجرزا و در عین حال همزمان با حلقه فیدبک خطی ساز اعوجاج غیرخطی PA اجرا می‌شود. در این روش، مدلسازی QM براساس نمونه پوش سیگنال خروجی QM و ورودی باندپایه آن انجام می‌شود که برای مورد اول، نیاز به یک آشکار ساز پوش داشت که ایده‌آل در نظر گرفته شد ولی در عمل

$$\mathbf{w} = \mathbf{mcu} \quad (16)$$

در حالت جبرانسازی ایده‌آل که در آن ورودی QMC با خروجی QM برابر است، می‌بایست:

$$\mathbf{c} = \mathbf{m}^{-1}$$

$$= \frac{1}{g_m \cos(\varphi_m)} \begin{bmatrix} g_m \cos(\varphi_m) & g_m \sin(\varphi_m) \\ 0 & 1 \end{bmatrix} \quad (17)$$

بنابراین، جبرانسازی کامل در صورتی بانجام می‌رسد که پارامترهای پیش اعوجاج با پارامترهای عدم توازن IQ واقعی برابر باشد ($\hat{g}_m = g_m$ و $\hat{\varphi}_m = \varphi_m$). از آنجاییکه در عمل، φ_m و g_m مجهول است، می‌بایست آنها به نوعی شناسایی و تخمین زد. هدف از الگوریتم وفقی پیشنهادی، شناسایی و تخمین پارامترهای عدم توازن IQ در QM می‌باشد تا با استفاده از آن پارامترهای جبرانساز QMC را بدست آورد. هر مرحله تکرار الگوریتم براساس یک نمونه ورودی باندپایه QM (خرجی QMC) و اندازه گیری خروجی ED ایده‌آل متناظر انجام می‌شود. با محاسبه پارامترهای مدل باندپایه QM، مقادیر محاسبه شده در تکرار بعد الگوریتم بعنوان پارامترهای جدید مدل QMC بکار می‌روند. این فرایند خیلی سریع به همگرایی پارامترها به مقدار نهایی خود و شناسایی کامل آنها منجر می‌شود. همزمان با الگوریتم پیشنهادی فوق، الگوریتم شناسایی پارامترهای مدل QM و جبران کامل آن اجرا می‌شود. با همگرا شدن پارامترهای مدل QM و جبران کامل عدم توازن IQ در QM، الگوریتم وفقی پارامترهای MOP PD به عملیات عادی خود برای خطی سازی PA می‌پردازد.

برای الگوریتم وفقی RLS پیشنهادی، معیار حداقل مربع بر روی خطای $e_{qm}[n] = s[n] - \hat{s}[n]$ به صورت زیر نوشته می‌شود:

$$\begin{aligned}J[n] &= \sum_{l=1}^n \lambda^{n-l} |e_{qm}[l]|^2 \\ &= \sum_{l=1}^n \lambda^{n-l} |s[l] - \hat{s}[l]|^2\end{aligned}\quad (18)$$

که در آن λ ضریب فراموشی الگوریتم RLS می‌باشد. با توجه به مدل باندپایه انتخابی برای QM (فرم خطی رابطه (۱۳) می‌توان نوشت:

$$\begin{aligned}\hat{w}(t) &= [z_I(t) - g_m \sin(\varphi_m)z_Q(t)] \\ &\quad + jg_m \cos(\varphi_m)z_Q(t)\end{aligned}\quad (19)$$

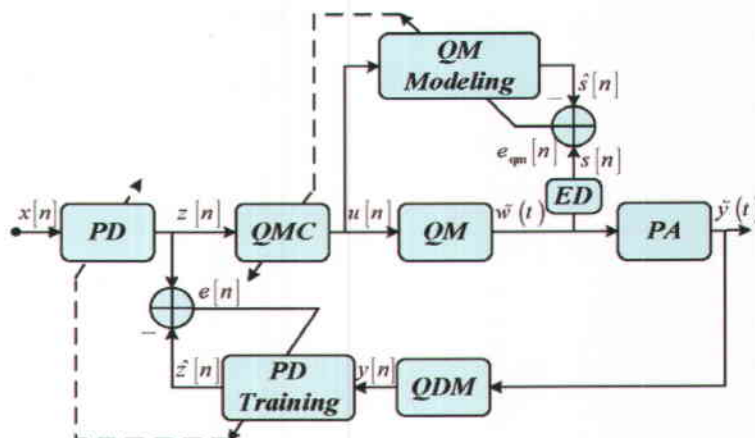
براساس رابطه (۱۲) می‌توان خروجی آشکار ساز پوش را به صورت زیر نوشت:

$$\begin{aligned}\hat{s}[n] &= [z_I[n] - g_m \sin(\varphi_m)z_Q[n]]^2 \\ &\quad + [g_m \cos(\varphi_m)z_Q[n]]^2\end{aligned}\quad (20)$$

که با کمی دستکاری در رابطه فوق، رابطه (۲۱) بدست می‌آید:

$$\begin{aligned}\hat{s}[n] - z_I^2[n] &= \underbrace{g_m^2 z_Q^2[n]}_{\zeta_1} \\ &\quad - 2\underbrace{g_m \sin(\varphi_m)z_I[n]z_Q[n]}_{\zeta_2} \\ &= \zeta^T \chi[n]\end{aligned}\quad (21)$$





شکل ۳: دیاگرام بلوکی سیستم پیش اعوجاج باندپایه بهمراه جبرانساز عدم توازن IQ.

۱-۱-۳- الگوریتم وفقی RLS برای مدلسازی QM و جبرانساز QMC

مدل باندپایه برای مدولاتور تربیعی دارای عدم توازن IQ دارای فرم ماتریسی زیر می‌باشد [5]:

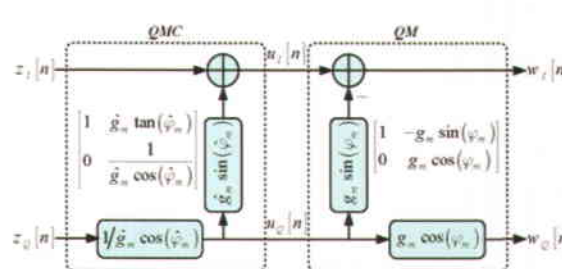
$$\mathbf{w} = \mathbf{mz}$$

در جاییکه بردارهای دو مولفه‌ای $\mathbf{w} = [w_I(t), w_Q(t)]^T$ و $\mathbf{z} = [z_I(t), z_Q(t)]^T$ ، اجزاء حقیقی و موهومی بوشهای مختلط متناظر می‌باشند و ماتریس \mathbf{m} که پارامترهای اعوجاج عدم توازن IQ در QM را شامل می‌شود، به صورت زیر تعریف می‌شود:

$$\mathbf{m} = \begin{bmatrix} 1 & -g_m \sin(\varphi_m) \\ 0 & g_m \cos(\varphi_m) \end{bmatrix} \quad (14)$$

در رابطه فوق، g_m و φ_m بترتیب عدم توازن فاز و بهره مایبن شاخه‌های هم فاز (I) و تربیعی (Q) در QM می‌باشند. پیاده سازی مدار جبرانساز عدم توازن IQ در QM (QMC) و QM (QM) همانطوریکه در شکل (۵) نشان داده شده است به صورت پیش اعوجاج دیجیتال می‌باشد و برای مشخصه انتقال QMC، QM می‌توان عبارت ماتریسی زیر را نوشت:

$$\mathbf{z} = \mathbf{cu} \quad (15)$$



شکل ۵: مدل باندپایه عدم توازن IQ در QM برای پیش اعوجاج QMC.

که در آن ماتریس \mathbf{C} ، شامل پارامترهای جبرانساز می‌باشد. توالی QM و QMC دارای مشخصه انتقال کلی زیر خواهد بود:

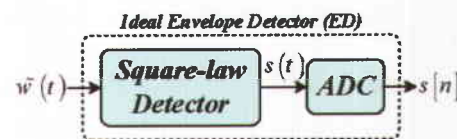
برای سادگی و شفافیت بیشتر، در مسیر پیشخور مبدل دیجیتال به آنالوگ (DAC) و فیلتر بازسازی که قبل از QM قرار می‌گیرند و در مسیر فیدبک مبدل آنالوگ به دیجیتال (ADC) و فیلتر پائین گذر که بعد از QDM هستند، در این شکل نشان داده نشده است. بلوک جبرانساز IQ (QMC) در باندپایه و بعد از PD (قبل از ADC) قرار می‌گیرد. سیگنال واقعی که به PA وارد می‌شود سیگنال میانگذار $\tilde{w}(t)$ با پوش مختلط ($w(t)$ می‌باشد که توسط QM ایجاد شده است و قبل از آن از مدار جبرانساز آن (QMC) عبور کرده است. سیگنال باندپایه خروجی QMC که همان ورودی QM است، $z[n]$ می‌باشد. سیگنال میانگذار خروجی PA، $\tilde{y}(t)$ در مسیر فیدبک وارد QDM می‌شود. با فرض ایده‌آل بودن QDM سیگنال باندپایه گستته زمان خروجی $[n]$ لا وارد بلوک طراحی PD می‌شود.

در مسیر پیشخور، سیگنال آنالوگ خروجی QM به یک آشکار ساز پوش (ED) ایده‌آل وارد می‌شود. همانطوریکه در شکل (۴) نشان داده شده است، ED ایده‌آل را می‌توان به صورت یک آشکار ساز قانون مربع ایده‌آل با خروجی $s(t)$ که پس از آن یک مبدل ADC قرار دارد، مدل کرد. خروجی ED، تنها کمیت قابل مشاهده و اندازه گیری است. با فرض سیگنال میانگذار $\tilde{w}(t) = \Re\left\{w(t)e^{-j\omega_c t}\right\}$ در ورودی ED، اگر مشخصه ED ایده‌آل دارای مشخصه قانون مربع باشد، خروجی آن برابر است با:

$$s(t) = |w(t)|^2 \quad (11)$$

با فرض ایده‌آل بودن مبدل ADC، سیگنال خروجی ED ایده‌آل به صورت زیر نوشته می‌شود:

$$s[n] = |w[n]|^2 \quad (12)$$



شکل ۶: ساختار داخلی آشکار ساز پوش (ED).



به عنوان مقادیر جدید ضرایب چندجمله‌ای متعامد با حافظه در PD برای نمونه $n+1$ بکار می‌رود. برای شروع عملیات وفقی سازی، ضرایب اولیه برای ماتریس $\mathbf{P}[n]$ و بردار ضرایب به صورت (۱۰) تعریف می‌شود

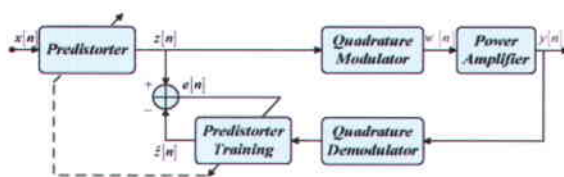
[13]

$$\begin{aligned}\mathbf{P}[0] &= \delta^{-1} \mathbf{I} \\ \mathbf{a}[0] &= [0.1, 0, \dots, 0]^T\end{aligned}\quad (10)$$

در جاییکه δ مقدار مثبت کوچک (۰.۰۰۱) و \mathbf{I} ماتریس واحد می‌باشد.

۳- روش‌های پیشنهادی برای جبرانسازی همزمان و توام اعوجاج غیرخطی PA با حافظه و عدم توازن IQ در QM

شکل (۲)، ساختار کلی فرستنده تبدیل مستقیم به بالا که دارای سیستم پیش اعوجاج است را نشان می‌دهد. در این ساختار از QM در مسیر پیشخور و از QDM در مسیر فیدبک استفاده می‌شود. در QM، فرستنده‌های تبدیل مستقیم به بالا که اطلاعات باندپایه IQ توسعه مستقیماً به سیگنال RF مدوله می‌شوند، بدلیل این که در عمل حاملهای تریبعی در مدولاتور آنالوگ، دقیقاً دارای دامنه یکسان و اختلاف فاز ۹۰ درجه نیستند، اعوجاج عدم توازن فاز و بهره (IQ) ایجاد می‌شود که در عملکرد خطی ساز PA تاثیر نامطلوبی ایجاد می‌کند [۱۴]. بنابراین، جبرانسازی این مساله به منظور بهبود عملکرد خطی ساز ضروری به نظر می‌رسد که در این بخش، روش‌های پیشنهادی برای جبرانسازی عدم توازن IQ بطور همزمان و توام با اعوجاج غیرخطی PA مطرح می‌گردد.



شکل ۲: ساختار کامل فرستنده تبدیل مستقیم به بالا با مدار پیش اعوجاج ساز.

۱-۱- روش اول: جبرانسازی عدم توازن IQ بر اساس QM خروجی

در ابتدا، روشی نوین برای جبرانسازی عدم توازن IQ در QM ارائه می‌شود که مبتنی بر ساختار پیش اعوجاج دیجیتال می‌باشد. در این روش، با استفاده از پوش سیگنال خروجی QM و ورودی باندپایه آن و از طریق الگوریتم وفقی RLS، پارامترهای مدل باندپایه عدم توازن IQ شناسایی و تخمین زده می‌شوند و بر اساس آن، مدار جبرانساز QMC را پیاده سازی کرد.

سیستم پیش اعوجاج مبتنی بر ساختار طراحی غیر مستقیم بهمراه تکنیک پیشنهادی برای جبرانسازی عدم توازن IQ، در شکل (۳) نشان داده شده است.

معتارف $\phi_{kq}[n] \triangleq |y[n-q]|^{k-1} y[n-q]$ به صورت رابطه (۲) می‌باشد [۱۱]:

(۲)

$$\psi_{2m+1,q}[n] = \sum_{k=0}^m \frac{(-1)^{m-k}}{\sigma_x^{2k+1}} \frac{\sqrt{m+1}}{(k+1)!} \binom{m}{k} \phi_{2k+1,q}[n]$$

با جایگذاری توابع پایه چندجمله‌ای متعارف با توابع پایه چندجمله‌ای متعامد، مشکلات عددی مرتبط با تخمین ضرایب PD کاهش می‌یابد [۱۲]. از آنجائیکه مدل رابطه (۱) نسبت به ضرایب خطی می‌باشد، ضرایب α_{kq} را می‌توان مستقیماً با روش حداقل مربعات (LS) و خارج از خط (تخمین دسته ای) بدست آورد [۱۰]. در این مقاله، به جای روش تخمین دسته ای فوق از روش تخمین ترتیبی حداقل مربعات بازگشتی (RLS) برای تنظیم و شناسایی پارامترهای MOP PD استفاده می‌گردد. بدین منظور، تخمین پارامترهای PD در هر لحظه زمانی n ، با حداقل سازی معیار $J[n]$ روی خطای $e[n]$ انجام می‌پذیرد:

$$J[n] = \sum_{l=1}^n \lambda^{n-l} |e[l]|^2 = \sum_{l=1}^n \lambda^{n-l} |z[l] - \hat{z}[l]|^2 \quad (3)$$

در رابطه فوق، ضریب فراموشی $\lambda \leq 1$ ، با کاهش اثر نمونه های قدیمی سیگنال، سیستم را برای تغییرات PA قابل تنظیم می‌سازد. فرم برداری رابطه (۱) را به صورت زیر می‌توان نوشت:

$$z[n] = \mathbf{a}^T \Psi[n] \quad (4)$$

که در آن،

$$\mathbf{a} = [\alpha_{10}, \dots, \alpha_{K0}, \dots, \alpha_{1Q}, \dots, \alpha_{KQ}]^T \quad (5)$$

$$\Psi[n] = [\psi_{10}[n], \dots, \psi_{K0}[n], \dots, \psi_{1Q}[n], \dots, \psi_{KQ}[n]]^T \quad (6)$$

با استفاده از الگوریتم وفقی RLS در تئوری فیلترهای وفقی [۱۳]، ضرایب چندجمله‌ای بلوك طراحی در لحظه n ، از مقادیر لحظه $n-1$ به شکل زیر قابل محاسبه می‌باشند:

$$\mathbf{a}[n] = \mathbf{a}[n-1] + \mathbf{K}[n]e[n] \quad (6)$$

که در آن خطای مابین خروجی PD و بلوك طراحی به صورت زیر تعریف می‌شود:

$$\begin{aligned}e[n] &= z[n] - \hat{z}[n] \\ &= z[n] - \mathbf{a}^T[n-1]\Psi[n]\end{aligned} \quad (7)$$

بردار بهره متغیر با زمان $\mathbf{K}[n]$ دارای رابطه (۸) می‌باشد:

$$\mathbf{K}[n] = \frac{\mathbf{P}[n-1]\Psi^*[n]}{\lambda + \Psi^T[n]\mathbf{P}[n-1]\Psi^*[n]} \quad (8)$$

در جاییکه ماتریس $\mathbf{P}[n]$ به طور متوالی از رابطه زیر، به روز می‌شود:

$$\mathbf{P}[n] = \frac{1}{\lambda} \mathbf{P}[n-1] - \frac{1}{\lambda} \mathbf{K}[n]\Psi^T[n]\mathbf{P}[n-1] \quad (9)$$

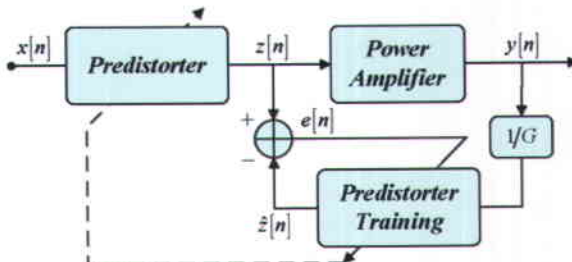
ضرایب بهینه بلوك طراحی PD که در لحظه n محاسبه می‌شود،



و عدم توازن IQ در QM بطور همزمان و با یک ساختار ساده انجام می شود که پارامترهای آنها از طریق تنها یک الگوریتم ورقی بهینه شده، به روز می شوند. روش پیشنهادی در مقایسه با روش قبلی از تعداد ضرایب کمتر، پیاده سازی ساده تر و باز محاسباتی کمتر برخوردار است. سازماندهی این مقاله به صورت زیر است: در ادامه PD چندجمله‌ای متعامد با حافظه (MOP PD) با ساختار طراحی غیر مستقیم در بخش ۲ معرفی می شود. بخش ۳ به تشریح دو روش پیشنهادی برای جبرانسازی ورقی و همزمان اعوجاج غیرخطی PA و عدم توازن IQ در QM اختصاص دارد. بررسی نتایج شبیه سازی به منظور ارزیابی و مقایسه عملکرد روشهای پیشنهادی در بخش ۴ ارائه می گردد و در انتها جمع بندی و نتیجه گیری این مقاله ارائه خواهد شد.

۲- پیش اعوجاج ساز MOP با ساختار طراحی غیر مستقیم

دیاگرام بلوکی معادل باندپایه روش پیش اعوجاج با ساختار طراحی غیر مستقیم در شکل (۱) نشان داده شده است. سیگنالهای $x[n]$ و $y[n]$ به ترتیب ورودی PD و خروجی PA می باشند و سیگنال $z[n]$ بیانگر خروجی PD و ورودی PA می باشد. در مسیر فیدبک، G بهره خطی PA می باشد که برای سادگی برابر یک فرض می شود.



شکل ۱: ساختار طراحی غیر مستقیم برای روش پیش اعوجاج

بلوک طراحی، که مشابه PD، معکوس مدل PA می باشد، دارای ورودی $G[n]/[n]$ لا و خروجی $\hat{z}[n]$ می باشد. PD واقعی، کمی دقیقی از بلوک طراحی می باشد. در صورتی که $y[n] = Gx[n]$ باشد، خطای $e[n] = z[n] - \hat{z}[n]$ برابر صفر است. عبارت دیگر در حالت ایده‌آل که خروجی سیستم کلی $y[n]$ برابر مضربی از ورودی $x[n]$ است، خروجی بلوک طراحی $\hat{z}[n]$ با خروجی PD $z[n]$ یکسان است. هدف، تخمین پارامترهای PD است به نحوی که خطای $e[n]$ حداقل شود. برای توصیف بلوک طراحی روش پیش اعوجاج مبتنی بر چندجمله‌ای متعامد با حافظه، رابطه زیر استفاده می شود [10]:

$$z[n] = \sum_{k=1}^K \sum_{q=0}^Q \alpha_{kq} \psi_{kq}[n] \quad (1)$$

که در آن، α_{kq} ضرایب PD می باشند. برای یک فرایند گوسی مشابه سیگنال OFDM توابع پایه چندجمله‌ای متعامد با حافظه $\psi_{kq}[n]$ بر حسب توابع پایه چندجمله‌ای

مرحله جبرانسازی بعد از آن و در بخش دیجیتال به شکل های مختلف از قبیل فیلترینگ ورقی [3],[4] و یا تخمین پارامترها به صورت کور [5]. انجام می شود. اما این مساله برای فرستنده، به علت این که بخش دیجیتال قبل آنالوگ قرار دارد، جبرانسازی آن بسیار پیچیده تر خواهد بود و به صورت پیش اعوجاج دیجیتال انجام می پذیرد. با توجه به اینکه در اکثر موارد پارامترهای عدم توازن IQ با عمر قطعات و شرایط محیطی مانند درجه حرارت تغییر می کند، لذا برای مبارزه با اثرات محرک این پدیده باید فرستنده به صورت تناوبی تنظیم و کالیبره شود و یا از روشهای ورقی برای این منظور استفاده کرد. مراجع محدودی در زمینه جبرانسازی ورقی عدم توازن IQ در QM فرستنده و در حضور خطی ساز PA (بطور خاص روش پیش اعوجاج) وجود دارد [9]-[6]. بدون جبرانسازی عدم توازن IQ، عملکرد خطی سازی PD به طور چشمگیری کاهش می یابد. روشهای ارائه شده برای جبرانسازی این مساله در فرستنده، عموماً با استفاده از دنباله های تعلمی [6] و یا به صورت خارج خط [7] انجام می پذیرد. در [7]، یک روش جبرانسازی دو مرحله ای پیشنهاد شده است که در آنجا پارامترهای QMC ابتدا با کنار گذاشتن PA تنظیم می شوند و سپس پارامترهای PD بدست می آید. عیب اصلی استفاده از روشهای کالیبراسیون خارج خط، ایجاد وقفه در ارسال منظم سیگنال اطلاعات به منظور تخمین پارامترهای مدل عدم توازن IQ با استفاده از دنباله های تعلمی می باشد. این روش همچنین برای غلبه بر عدم توازن IQ در QM که با زمان تغییر می کند ناکارآمد می باشد. روش ارائه شده در [8]، بطور توان اعوجاج غیرخطی PA و عدم توازن IQ در QM جبران می کند، اما از سرعت کم ورقی سازی رنج می برد.

هدف از این مقاله، ارائه روشهایی به منظور جبرانسازی همزمان اثرات عدم توازن IQ و اعوجاج غیرخطی PA می باشد. روشهای ورقی پیشنهادی به صورت روی خط و همزمان، عدم توازن IQ در QM و PA را جبران می سازد. در روش اول شناسایی و تخمین پارامترهای مدل عدم توازن IQ به صورت کور و بدون اطلاع از مشخصات سیگنال و مدل در نظر گرفته شده برای QM، با استفاده از روشهای ورقی و براساس خروجی QM انجام می پذیرد. مدار جبرانساز نیز به صورت پیش اعوجاج دیجیتال قبل از قرار دارد و برای هر نمونه سیگنال، پارامترهای آن به روز می شود. هنگام همگرا شدن پارامترها، جبرانساز QMC به طور کامل اثر عدم توازن IQ در QM را خنثی می کند. برتری این روش عدم نیاز به ایجاد وقفه در عملکرد سیستم ارسال فرستنده به منظور تخمین پارامترهای مدل عدم توازن IQ در QM و بلوک PD (کالیبراسیون) می باشد که به دلیل تغییر مشخصه PA، به طور ورقی و متناوب می باشد انجام پذیرد. در این روش از سیگنالهای تعلمی برای کالیبراسیون فرستنده استفاده نمی شود و از همان سیگنال ارسالی برای شناسایی پارامترهای مدل به صورت روی خط استفاده می شود. از آنجائیکه در این روش از یک الگوریتم ورقی مجزا از ساختار طراحی PD برای شناسایی پارامترهای مدل QM استفاده می شود و با توجه به اینکه خطی ساز PA نیز به صورت PD ورقی می باشد، یافتن الگوریتمی برای ترکیب بهینه این دو روش به منظور کاهش پیچیدگی محاسباتی دو مدار جبرانساز از اهداف دیگر این مقاله می باشد.

در مرجع [9] روشی برای جبرانسازی توان مبتنی بر ساختار طراحی غیر مستقیم پیشنهاد شده است که تنها به یک حلقه فیدبک نیاز دارد و با این وجود مشخصات ورقی سازی سرعی از خود بروز می دهد. در روش پیشنهادی دوم، با اصلاح روش مذکور، جبرانسازی اعوجاج غیرخطی PA



روشهای جبرانسازی وفقی و همزمان اعوجاج غیر خطی تقویت کننده قدرت با حافظه و عدم توازن فاز و بهره مدولاتور تربیعی

وحید طباطباؤکیلی

حسن زارعیان

دانشگاه علم و صنعت ایران، دانشکده مهندسی برق
yakily@iust.ac.ir

دانشکده صدا و سیما، گروه مهندسی رسانه
zareian@iribu.ir

تاریخ دریافت: ۱۳۸۷/۱۱/۱۹ - تاریخ پذیرش: ۱۳۸۸/۵/۲۰

چکیده - عدم توازن فاز و بهره (IQ) در مدولاتور تربیعی آنالوگ (QM) فرستنده، اثر مخربی بر عملکرد روشهای خطی سازی تقویت کننده قدرت (PA) و بطور خاص، روش پیش اعوجاج دارد. این مقاله، تکنیک هایی پیشنهاد می کند که بطور وفقی و همزمان، اعوجاج غیرخطی PA و عدم توازن IQ در QM را جبران می سازد. در روش پیشنهادی اول یک مدار جبرانساز عدم توازن IQ در مدولاتور تربیعی (QMC) ارائه می شود که مجزا از مدار خطی ساز PA می باشد و در عین حال همزمان با آن عمل می کند. در این روش، پارامترهای QMC و ضرایب پیش اعوجاج ساز (PD)، بطور وفقی و همزمان با استفاده از دو الگوریتم وفقی مجزا به روز رسانی می شوند. در روش پیشنهادی دوم، با اصلاح بهینه یکی از الگوریتم های موجود، روشی برای جبرانسازی توازن اثرات غیرخطی PA و مستله عدم توازن IQ در QM پیشنهاد می گردد که با یک ساختار ساده، پارامترهای جبرانساز توازن از طریق تنها یک الگوریتم وفقی بهینه شده، به روز می شوند. ارزیابی روشهای وفقی پیشنهادی از طریق شبیه سازی کامپیوتری، بیانگر کارائی آنها در جبرانسازی اثر عدم توازن IQ و در نتیجه بهبود عملکرد خطی سازی PA می باشد.

کلید واژه: - قویت کننده غیرخطی با حافظه، پیش اعوجاج ساز، عدم توازن فاز و بهره، مدولاتور تربیعی، جبرانساز وفقی.

IQ در QM می باشد. این مساله، عملکرد روش پیش اعوجاج در خطی سازی PA را به ویژه در برخی از معماریهای ارسال سیگنال از قبیل ساختار تبدیل مستقیم به بالا به شدت تحت تاثیر قرار می دهد و موجب افت عملکرد آنها می شود [2].

جبرانسازی عدم توازن IQ در QDM گیرنده در مراجع متعددی مورد توجه قرار گرفته است [3]-[5]؛ ولی در مقایسه با آن، برای QM فرستنده کار کمتر انجام پذیرفته است. عدم توازن IQ در QDM و یا QM به علت ایندها نبودن اجزا آنالوگ ایجاد می شود. در مورد اول،

۱- مقدمه

سیستم های مخابراتی بی سیم که از سیگنالی با تغییرات پوش زیاد استفاده می کنند در برابر اعوجاج غیرخطی تقویت کننده قدرت (PA) به شدت آسیب پذیرند. بنابراین، خطی سازی تقویت کننده قدرت (PA) یک مساله حیاتی می باشد. متدولترین تکنیک خطی سازی، روش پیش اعوجاج دیجیتال باندپایه است که بسیار مقرن بصرفه است [1]. مشکل اساسی در هنگام طراحی و استفاده از روش پیش اعوجاج دیجیتال باندپایه برای خطی سازی PA غیرخطی، آسیب پذیری آن به عدم توازن

